

Л. И. Фридман

ДИНАМИЧЕСКИЙ РАСЧЕТ КРУГЛЫХ ПЛАСТИН ПЕРЕМЕННОЙ ТОЛЩИНЫ ПРИ ОТКАЗЕ ОТ ГИПОТЕЗЫ КИРХГОФА

1. РЕШЕНИЕ ОДНОРОДНОЙ ЗАДАЧИ

Пластина переменной толщины заменяется p кольцевыми пластинами постоянной толщины (см. рисунок).

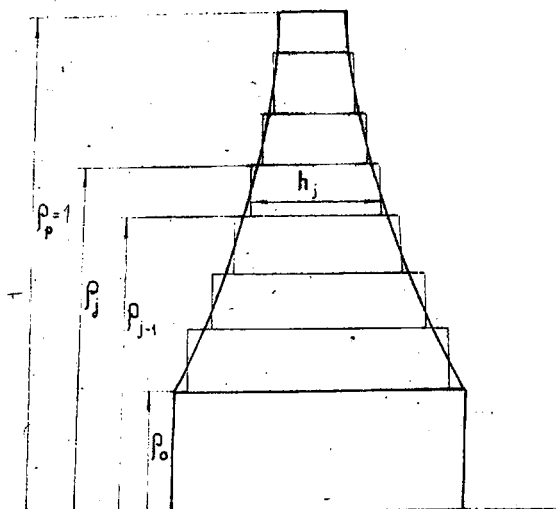


Рис. Схематизация пластины переменной толщины

Уравнения движения j -й пластины в безразмерных координатах ρ, θ с учетом инерции вращения имеет вид [4]:

$$\left. \begin{aligned} \frac{1}{\rho} Q_{\rho}^{(j)} + \frac{\partial Q_{\rho}^{(j)}}{\partial \rho} + \frac{1}{\rho} \frac{\partial Q_{\theta}^{(j)}}{\partial \theta} &= - \frac{E h_j}{1-\nu} \frac{\partial^2 u^{(j)}}{\partial t^2} - q^{(j)} R \\ Q_{\rho}^{(j)} - \frac{1}{R} \left(\frac{\partial M_{\rho}^{(j)}}{\partial \rho} + \frac{1}{\rho} M_{\rho}^{(j)} + \frac{1}{\rho} \frac{\partial M_{\rho\theta}^{(j)}}{\partial \theta} - M_{\theta}^{(j)} \right) &= - \\ - \frac{D_j}{R^2} \frac{\partial^2 \delta_{\rho}^{(j)}}{\partial t^2} ; \end{aligned} \right\} (1.1)$$

$$Q_{\Theta}^{(j)} - \frac{1}{R} \left(\frac{1}{\rho} \frac{\partial M_{\Theta}^{(j)}}{\partial \Theta} + \frac{\partial M_{\rho\Theta}^{(j)}}{\partial \rho} + \frac{1}{\rho} M_{\rho\Theta}^{(j)} \right) = - \left. \begin{array}{l} \\ - \frac{D_j}{R^2} \frac{\partial^2 \vartheta^{(j)}}{\partial t^2} \end{array} \right\} (1.1)$$

Здесь $M_{\rho}^{(j)}$, $M_{\Theta}^{(j)}$, $M_{\rho\Theta}^{(j)}$, $Q_{\rho}^{(j)}$, $Q_{\Theta}^{(j)}$ — погонные изгибающие и крутящие моменты, перерезывающие силы на линиях $\rho = \text{const}$ и $\Theta = \text{const}$; $u^{(j)}$ — безразмерное перемещение, нормальное к срединной плоскости;

$\vartheta_{\rho}^{(j)}$, $\vartheta_{\Theta}^{(j)}$ — компоненты осредненного поворота;

t — безразмерное время, отнесенное к $R \cdot \sqrt{1 - \nu^2} / c$;

R — внешний радиус пластины; $c = \sqrt{E \gamma / g}$;

E — модуль упругости; ν — коэффициент Пуассона;

g — ускорение земного притяжения, γ — удельный вес материала пластины, h_j — толщина пластины, D_j — цилиндрическая жесткость.

Экспериментально показано, что собственные формы пластины переменной толщины характеризуются числом узловых окружностей и узловых диаметров. Поэтому для j -й пластины перемещения и осредненные повороты можно представить в виде:

$$\left. \begin{array}{l} u_m^{(j)} = \sum_{n=0}^{\infty} u_{mn}^{(j)} \cos n \Theta; \\ \vartheta_{\rho m}^{(j)} = \sum_{n=0}^{\infty} \vartheta_{\rho mn}^{(j)} \cos n \Theta; \\ \vartheta_{\Theta m}^{(j)} = \sum_{n=0}^{\infty} \vartheta_{\Theta mn}^{(j)} \sin n \Theta. \end{array} \right\} (1.2)$$

Здесь ($j = 1, 2 \dots p$)

m — число узловых окружностей,

n — число узловых диаметров,

$u_{mn}^{(j)}$, $\vartheta_{\rho mn}^{(j)}$, $\vartheta_{\Theta mn}^{(j)}$ — функции радиуса ρ , определяемые зависимостями [4]:

при $\lambda_{mn}^2 < b_j$ ($b_j = 6\eta(1-\nu) \frac{1}{x_j}$; $x_j = \frac{h_j}{R}$;

$\eta = \frac{5}{6}$ — коэффициент распределения касательных напряжений.

$$\begin{aligned}
 u_{mn}^{(j)} &= (\alpha_{j1mn}^2 - b_j + \lambda_{mn}^2) F_{1mn}^{(j)} + (-\alpha_{j2mn}^2 - b_j + \lambda_{mn}^2) F_{2mn}^{(j)} ; \\
 \vartheta_{\rho mn}^{(j)} &= -b_j \left(\frac{dF_{1mn}^{(j)}}{d\rho} + \frac{dF_{2mn}^{(j)}}{d\rho} \right) + \frac{n}{\rho} \psi_{mn}^{(j)} ; \\
 \vartheta_{\theta mn}^{(j)} &= b_j \frac{n}{\rho} (F_{1mn}^{(j)} + F_{2mn}^{(j)}) - \frac{d\psi_{mn}^{(j)}}{d\rho} .
 \end{aligned} \tag{1.3}$$

$$\begin{aligned}
 F_{1mn}^{(j)} &= A_{1mn}^{(j)} I_n(\rho \alpha_{j1mn}) + B_{1mn}^{(j)} K_n(\rho \alpha_{j1mn}) ; \\
 F_{2mn}^{(j)} &= A_{2mn}^{(j)} J_n(\rho \alpha_{j2mn}) + B_{2mn}^{(j)} Y_n(\rho \alpha_{j2mn}) ; \\
 \psi_{mn}^{(j)} &= A_{3mn}^{(j)} I_n(\rho \beta_{jmn}) + B_{3mn}^{(j)} K_n(\rho \beta_{jmn}) .
 \end{aligned} \tag{1.4}$$

$$\begin{aligned}
 \alpha_{j1mn} &= \sqrt{-\frac{1}{2} \left(1 + \frac{2}{\eta(1-\nu)} \right) \lambda_{mn}^2 +} \\
 &\quad + \sqrt{\frac{1}{4} \left(1 - \frac{2}{\eta(1-\nu)} \right)^2 \lambda_{mn}^4 + \frac{12}{\kappa_j^2} \lambda_{mn}^2} \\
 \alpha_{j2mn} &= \sqrt{\frac{1}{2} \left(1 + \frac{2}{\eta(1-\nu)} \right) \lambda_{mn}^2 +} \\
 &\quad + \sqrt{\frac{1}{4} \left(1 - \frac{2}{\eta(1-\nu)} \right)^2 \lambda_{mn}^4 + \frac{12}{\kappa_j^2} \lambda_{mn}^2} \\
 \beta_{jmn} &= \sqrt{\frac{2}{1-\nu_j} (b_j - \lambda_{mn}^2)} .
 \end{aligned} \tag{1.5}$$

Здесь λ_{mn} — безразмерная частота;
 J_n , Y_n — функции Бесселя n -го порядка соответственно первого и второго рода;
 I_n , K_n — модифицированные функции Бесселя;
 n -го порядка, соответственно, первого и второго рода;
 $A_{1mn}^{(j)}$, $B_{1mn}^{(j)}$, ..., $B_{3mn}^{(j)}$ — произвольные постоянные.

При $\lambda_{mn}^2 > b_j$ в первой и третьей формулах (1.5) появляется множителем мнимая единица i , поэтому в первой и третьей формулах (1.4) модифицированные функции Бесселя I_n , K_n переходят соответственно в функции Бесселя J_n и Y_n . Таким образом, если пластина переменной толщины разделена на p пластин постоянной толщины, то решение однород-

ной задачи содержит $6 \cdot p$ произвольных постоянных. Для j -й пластины можно записать граничные условия:

$$\left. \begin{aligned} \rho = \rho_{j-1} \quad u_{mn}^{(j-1)} &= u_{mn}^{(j)}; & M_{\rho mn}^{(j-1)} &= M_{\rho mn}^{(j)}; \\ \vartheta_{\rho mn}^{(j-1)} &= \vartheta_{\rho mn}^{(j)}; & M_{\rho \Theta mn}^{(j-1)} &= M_{\rho \Theta mn}^{(j)}; \\ \vartheta_{\Theta mn}^{(j-1)} &= \vartheta_{\Theta mn}^{(j)}; & Q_{\rho mn}^{(j-1)} &= Q_{\rho mn}^{(j)}. \end{aligned} \right\} \quad (1.6)$$

$$\left. \begin{aligned} \rho = \rho_j \quad u_{mn}^{(j)} &= u_{mn}^{(j+1)}; & M_{\rho mn}^{(j)} &= M_{\rho mn}^{(j+1)}; \\ \vartheta_{\rho mn}^{(j)} &= \vartheta_{\rho mn}^{(j+1)}; & M_{\rho \Theta mn}^{(j)} &= M_{\rho \Theta mn}^{(j+1)}; \\ \vartheta_{\Theta mn}^{(j)} &= \vartheta_{\Theta mn}^{(j+1)}; & Q_{\rho mn}^{(j)} &= Q_{\rho mn}^{(j+1)}. \end{aligned} \right\} \quad (1.7)$$

Граничные условия для внешнего ($\rho = 1$) и внутреннего ($\rho = \infty$) краев определяются способом закрепления пластины.

Обычно рассматриваются три способа закрепления: заделка, шарнирное опирание и свободный край. Этим способам закрепления соответствуют граничные условия:

$$u_{mn}^{(j)} = 0; \quad \vartheta_{\rho mn}^{(j)} = 0; \quad \vartheta_{\Theta mn}^{(j)} = 0. \quad (1.8)$$

$$u_{mn}^{(j)} = 0; \quad \vartheta_{\Theta mn}^{(j)} = 0; \quad M_{\rho mn}^{(j)} = 0. \quad (1.9)$$

$$M_{\rho mn}^{(j)} = 0; \quad M_{\rho \Theta mn}^{(j)} = 0; \quad Q_{\rho mn}^{(j)} = 0. \quad (1.10)$$

Моменты $M_{\rho mn}^{(j)}$, $M_{\Theta mn}^{(j)}$, $M_{\rho \Theta mn}^{(j)}$ и перерезывающие силы $Q_{\rho mn}^{(j)}$, $Q_{\Theta mn}^{(j)}$ подсчитываются по формулам [4]:

$$M_{\rho mn}^{(j)} = \frac{D_j}{R} \left[\frac{d \vartheta_{\rho mn}^{(j)}}{d \rho} + \nu \left(\frac{n}{\rho} \vartheta_{\Theta mn}^{(j)} + \frac{1}{\rho} \vartheta_{\rho mn}^{(j)} \right) \right];$$

$$M_{\Theta mn}^{(j)} = \frac{D_j}{R} \left(\frac{n}{\rho} \vartheta_{\Theta mn}^{(j)} + \frac{1}{\rho} \vartheta_{\rho mn}^{(j)} + \nu \frac{d \vartheta_{\rho mn}^{(j)}}{d \rho} \right);$$

$$M_{\rho \Theta mn}^{(j)} = \frac{D_j}{R} \cdot \frac{1-\nu}{2} \left(-\frac{n}{\rho} \vartheta_{\rho mn}^{(j)} + \frac{d \vartheta_{\Theta mn}^{(j)}}{d \rho} - \frac{1}{\rho} \vartheta_{\Theta mn}^{(j)} \right);$$

$$Q_{\rho mn}^{(j)} = \frac{\eta E h_j}{2(1+\nu)} \left(\vartheta_{mn}^{(j)} - \frac{d u_{\rho mn}^{(j)}}{d \rho} \right);$$

$$Q_{\Theta mn}^{(j)} = \frac{\eta E h_j}{2(1+\nu)} \left(\vartheta_{\Theta mn}^{(j)} + \frac{n}{\rho} u_{mn}^{(j)} \right).$$

Для $6p$ произвольных постоянных условия (1.6), (1.7) и два из трех условий (1.8), (1.9) и (1.10) дают систему из $6p$

однородных уравнений. Условие разрешимости полученной системы дает частотное уравнение.

Таким образом, задача о нахождении собственных частот и форм круглой пластины переменной толщины решена.

2. РЕШЕНИЕ НЕОДНОРОДНОЙ ЗАДАЧИ

Решение задачи о вынужденных движениях пластины под действием нагрузки $q(\rho, \Theta, t)$ будем искать в виде ряда по собственным формам. Для этого необходимо получить условия ортогональности собственных форм ступенчатой пластины. С этой целью запишем систему уравнений собственных форм, которое может быть получено из системы (1.1) после разделения переменных по координатам ρ, Θ и времени t :

$$\left. \begin{aligned} \frac{1-\nu^2}{Eh_j} \left(\frac{1}{\rho} Q_{\rho m}^{(j)} + \frac{\partial Q_{\rho m}^{(j)}}{\partial \rho} + \frac{1}{\rho} \frac{\partial Q_{\Theta m}^{(j)}}{\partial \Theta} \right) &= \lambda_m^2 u_m^{(j)}; \\ \frac{R^2}{D_j} \left[Q_{\rho m}^{(j)} - \frac{1}{R} \left(\frac{\partial M_{\rho m}^{(j)}}{\partial \rho} + \frac{1}{\rho} M_{\rho m}^{(j)} + \frac{1}{\rho} \frac{\partial M_{\rho \Theta m}^{(j)}}{\partial \Theta} - \right. \right. \\ &\left. \left. - M_{\Theta m}^{(j)} \right) \right] = \lambda_m^2 \vartheta_{\rho m}^{(j)}; \\ \frac{R^2}{D_j} \left[Q_{\Theta m}^{(j)} - \frac{1}{R} \left(\frac{1}{\rho} \frac{\partial M_{\Theta m}^{(j)}}{\partial \Theta} + \frac{\partial M_{\rho \Theta m}^{(j)}}{\partial \rho} + \frac{1}{\rho} M_{\rho \Theta m}^{(j)} \right) \right] &= \\ \lambda_m^2 \vartheta_{\Theta m}^{(j)}. \end{aligned} \right\} \quad (2.1)$$

Умножим уравнения системы (2.1) соответственно на $u_k^{(j)} \rho \cdot d\rho \cdot d\Theta$, $\frac{x_j^2}{12} \vartheta_{\rho k}^{(j)} \cdot \rho \cdot d\rho \cdot d\Theta$, $\frac{x_j^2}{12} \vartheta_{\Theta k}^{(j)} \rho d\rho d\Theta$,

сложим их и проинтегрируем по срединной плоскости j -й пластины. После подстановки выражений (1.2) в полученные зависимости, интегрирования по Θ и вычитания из них аналогичных выражений для k -й формы, получим:

$$\begin{aligned} &(\lambda_{mn}^2 - \lambda_{kn}^2) \int_{\rho_{j-1}}^{\rho_j} \left[u_{mn}^{(j)} u_{kn}^{(j)} + \frac{x_j^2}{12} (\vartheta_{\rho mn}^{(j)} \vartheta_{\rho kn}^{(j)} + \vartheta_{\Theta mn}^{(j)} \vartheta_{\Theta kn}^{(j)}) \right] \rho d\rho = \\ &= \frac{1-\nu^2}{Eh_j} \left[Q_{\rho mn}^{(j)} u_{kn}^{(j)} - Q_{\rho kn}^{(j)} u_{mn}^{(j)} - \frac{1}{R} (M_{\rho mn}^{(j)} \vartheta_{\rho kn}^{(j)} - \right. \\ &\left. - M_{\rho kn}^{(j)} \vartheta_{\rho mn}^{(j)} + M_{\rho \Theta mn}^{(j)} \vartheta_{\Theta kn}^{(j)} - M_{\rho \Theta kn}^{(j)} \cdot \vartheta_{\Theta mn}^{(j)}) \right] \rho \Big|_{\rho_{j-1}}^{\rho_j}. \end{aligned}$$

Умножая полученное выражение на h_j и суммируя по всем пластинам от $j = 1$ до $j = p$ с учетом условий (1.6) и (1.7), получим:

$$\left. \begin{aligned} & (\lambda_{mn}^2 - \lambda_{kn}^2) \sum_{j=1}^p h_j \int_{\rho_{j-1}}^{\rho_j} \left[u_{mn}^{(i)} u_{kn}^{(i)} + \frac{z_j^2}{12} \left(\vartheta_{\rho mn}^{(i)} \vartheta_{\rho kn}^{(i)} + \right. \right. \\ & \left. \left. \vartheta_{\theta mn}^{(i)} \vartheta_{\theta kn}^{(i)} \right) \right] \rho d\rho = \\ & = \frac{1 - \nu^2}{E} \left[Q_{\rho mn} u_{kn} - Q_{\rho kn} u_{mn} - \frac{1}{R} \left(M_{\rho mn} \vartheta_{\rho kn} - \right. \right. \\ & \left. \left. - M_{\rho kn} \vartheta_{\rho mn} + M_{\theta mn} \vartheta_{\theta kn} - M_{\theta kn} \vartheta_{\theta mn} \right) \right] \rho \Big|_{\rho_0}^{\rho_1}. \end{aligned} \right\} \quad (2.2)$$

В правой части (2.2) опущены верхние индексы, так как соответствующие величины, как видно из проставленных пределов, берутся для $\rho = 1$ и $\rho = \rho_0$, т. е. для первой и последней пластины. Правая часть (2.2) в силу условий (1.8), (1.9), (1.10), равна нулю, откуда следует условие ортогональности ступенчатой пластины:

$$\sum_{j=1}^p h_j \int_{\rho_{j-1}}^{\rho_j} \left[u_{mn}^{(i)} u_{kn}^{(i)} + \frac{z_j^2}{12} \left(\vartheta_{\rho mn}^{(i)} \vartheta_{\rho kn}^{(i)} + \vartheta_{\theta mn}^{(i)} \vartheta_{\theta kn}^{(i)} \right) \right] \rho d\rho = 0 \quad (2.3)$$

при $m \neq k$.

Решение неоднородной задачи ищем в виде:

$$\left. \begin{aligned} u^{(j)} &= \sum_{m=0}^{\infty} \sum_{n=0}^{\infty} \varphi_{mn} u_{mn}^{(j)} \cos n \Theta, \\ \vartheta_{\rho}^{(j)} &= \sum_{m=0}^{\infty} \sum_{n=0}^{\infty} \varphi_{mn} \vartheta_{\rho mn}^{(j)} \cos n \Theta, \\ \vartheta_{\theta}^{(j)} &= \sum_{m=0}^{\infty} \sum_{n=0}^{\infty} \varphi_{mn} \vartheta_{\theta mn}^{(j)} \sin n \Theta, \\ M_{\rho}^{(j)} &= \sum_{m=0}^{\infty} \sum_{n=0}^{\infty} \varphi_{mn} M_{\rho mn}^{(j)} \cos n \Theta, \\ M_{\theta}^{(j)} &= \sum_{m=0}^{\infty} \sum_{n=0}^{\infty} \varphi_{mn} M_{\theta mn}^{(j)} \cos n \Theta; \\ M_{\rho\theta}^{(j)} &= \sum_{m=0}^{\infty} \sum_{n=0}^{\infty} \varphi_{mn} M_{\rho\theta mn}^{(j)} \sin n \Theta, \end{aligned} \right\} \quad (2.4)$$

$$\left. \begin{aligned} Q_p^{(j)} &= \sum_{m=0}^{\infty} \sum_{n=0}^{\infty} \varphi_{mn} Q_{\rho mn}^{(j)} \cos n \Theta; \\ Q_{\Theta}^{(j)} &= \sum_{m=0}^{\infty} \sum_{n=0}^{\infty} \varphi_{mn} Q_{\Theta mn}^{(j)} \sin n \Theta, \end{aligned} \right\} \quad (2.4)$$

Здесь φ_{mn} — функция времени t .

Подставляя выражения (2.4) в (1.1) с учетом равенств (2.1) и (1.2), получаем:

$$\left. \begin{aligned} \sum_{m=0}^{\infty} \sum_{k=0}^{\infty} \left(\frac{d^2 \varphi_{mn}}{dt^2} + \lambda_{mn}^2 \varphi_{mn} \right) u_{mn}^{(j)} \cos n \Theta &= \frac{1 - \nu^2}{E h_j} q^{(j)} R \\ \sum_{m=0}^{\infty} \sum_{n=0}^{\infty} \left(\frac{d^2 \varphi_{mn}}{dt^2} + \lambda_{mn}^2 \varphi_{mn} \right) \vartheta_{\rho mn}^{(j)} \cos n \Theta &= 0; \\ \sum_{m=0}^{\infty} \sum_{n=0}^{\infty} \left(\frac{d^2 \varphi_{mn}}{dt^2} + \lambda_{mn}^2 \varphi_{mn} \right) \vartheta_{\Theta mn}^{(j)} \sin n \Theta &= 0; \end{aligned} \right\} \quad (2.5)$$

Умножая, каждое из уравнений (2.5), соответственно на

$$h_j u_{kn}^{(j)} \cos n \Theta \cdot \rho \, d\rho \, d\Theta, \quad h_j \frac{x_j^2}{12} \vartheta_{\rho kn}^{(j)} \cos n \Theta \, \rho \, d\rho \, d\Theta,$$

$h_j \frac{x_j^2}{12} \vartheta_{\Theta kn}^{(j)} \sin n \Theta \, \rho \, d\rho \, d\Theta$, складывая их, интегрируя по срединной плоскости j -й пластины и суммируя по всем пластинам с учетом (2.3), получим:

$$\frac{d^2 \varphi_{mn}}{dt^2} + \lambda_{mn}^2 \varphi_{mn} = f_{mn}(t), \quad (2.6)$$

где

$$f_{mn}(t) = \frac{1 - \nu^2}{E} \frac{R}{C_{mn}} \sum_{j=1}^D \int_{\rho_{j-1}}^{\rho_j} \int_0^{2\pi} q^{(j)} u_{mn}^{(j)} \cos n \Theta \, \rho \, d\rho \, d\Theta, \quad (2.7)$$

$$C_{mn} = \pi \sum_{j=1}^D h_j \int_{\rho_{j-1}}^{\rho_j} \left\{ (u_{mn}^{(j)})^2 + \frac{x_j^2}{12} \left[(\vartheta_{\rho mn}^{(j)})^2 + (\vartheta_{\Theta mn}^{(j)})^2 \right] \right\} \rho \, d\rho. \quad (2.8)$$

Интеграл в выражении (2.8) может быть вычислен по методу А. Н. Крылова [5]:

$$\begin{aligned} C_{mn} = \pi \frac{1 - \nu^2}{E} \frac{1}{2\lambda_{mn}} & \left[\frac{\partial Q_{\rho mn}}{\partial \lambda_{mn}} u_{mn} - Q_{\rho mn} \frac{\partial u_{mn}}{\partial \lambda_{mn}} - \right. \\ & \left. - \frac{1}{R} \left(\frac{\partial M_{\rho mn}}{\partial \lambda_{mn}} \vartheta_{\rho mn} - M_{\rho mn} \frac{\partial \vartheta_{\rho mn}}{\partial \lambda_{mn}} + \frac{\partial M_{\Theta mn}}{\partial \lambda_{mn}} \vartheta_{\Theta mn} - \right. \right. \end{aligned}$$

$$- M_{\rho\theta mn} \frac{\partial \vartheta_{\theta mn}}{\partial \lambda_{mn}} \Big] \rho \Big|_{\rho_0}^1.$$

Решение уравнения (2.6) при нулевых начальных условиях записывается в виде:

$$\varphi_{mn}(t) = \frac{1}{\lambda_{mn}} \int_0^t f_{mn}(\tau) \sin \lambda_{mn}(t-\tau) d\tau.$$

Рассмотрим некоторые частные случаи.

Если q является только функцией времени t , то

$$f_{mo}(t) = \frac{1-\nu^2}{E} q(t) R \frac{2\pi}{C_{mo}} \sum_{j=1}^p \int_{\rho_{j-1}}^{\rho_j} u_{mo}^{(j)} \rho d\rho.$$

При приложении к j -й пластине равномерно распределенной по окружности радиуса $\rho = \rho_*$ силы $P(t)$, последняя заменяется распределенной по кольцу $\rho_1^* \leq \rho \leq \rho_*$ нагрузкой $q = P(t)/R(\rho_* - \rho_1^*)$. В этом случае суммирование в (2.7) по j производить не следует, и интегрирование по ρ производится в пределах от ρ_1^* до ρ_* :

$$f_{mo}(t) = \frac{1-\nu^2}{E} \frac{2\pi}{C_{mo}} P(t) \frac{1}{\rho_* - \rho_1^*} \int_{\rho_1^*}^{\rho_*} u_{mo} \rho d\rho.$$

Переходя к пределу $\rho_1^* \rightarrow \rho^*$ и раскрывая неопределенность, получим:

$$f_{mo} = \frac{1-\nu^2}{E} \frac{2\pi}{C_{mo}} P(t) u_{mo}(\rho_*) \rho_*.$$

Аналогично при действии распределенного по радиусу $\rho = \rho_*$ момента $M(t)$

$$f_{mo}(t) = \frac{1-\nu^2}{E} \frac{2\pi}{C_{mo}} \frac{M(t)}{R} \frac{du_{mo}}{d\rho}(\rho_*) \rho_*.$$

При действии в точке $\rho = \rho_*$, $\Theta = \Theta_*$ сосредоточенной силы $P_*(t)$

$$f_{mn}(t) = \frac{1-\nu^2}{E} \frac{1}{C_{mn}} \frac{P_*(t)}{R} u_{mn}(\rho_*) \cos n \Theta_*.$$

Если к пластине в точке $\rho = \rho_*$, $\Theta = \Theta_*$ приложен сосредоточенный момент $M_*(t)$, вектор которого направлен по касательной к линии $\rho = \text{const}$, то

$$f_{mn}(t) = \frac{1-\nu^2}{E} \frac{1}{C_{mn}} \frac{M_*(t)}{R^2} \frac{du_{mn}}{d\rho}(\rho_*) \cos n \Theta_*.$$

Если же вектор сосредоточенного момента $M_{**}(t)$ направлен по радиусу пластины, то

$$f_{mn}(t) = \frac{1-\nu^2}{E} \frac{1}{C_{mn}} \frac{M_{**}(t)}{R^2} \frac{n}{\rho_*} u_{mn}(\rho_*) \cdot \sin n \Theta_*$$

В заключение заметим, что предложенный метод расчета легко может быть реализован на ЭВМ при сравнительно небольших объеме памяти и затратах времени.

ЛИТЕРАТУРА

1. Москаленко В. Н. К применению уточненных теорий изгиба пластин в задаче о собственных колебаниях. «Инженерный журнал», М., 1961, том 1, вып. 3.
2. Уфлянд Я. С. Распространение волн при поперечных колебаниях стержней и пластин. «Прикладная математика и механика», М., 1948, т. 12, вып. 3.
3. Дубинкин М. В. Колебания плит с учетом инерции вращения и сдвига. «Известия АН СССР», ОТН, М., 1958, № 2.
4. Фридман Л. И. Поперечные колебания круглых пластин с учетом инерции вращения и деформаций сдвига. В сб. «Проектирование и доводка авиационных газотурбинных двигателей», Труды КуАИ, вып. 67, Куйбышев, 1974.
5. Крылов А. Н. О некоторых дифференциальных уравнениях математической физики, М—Л, ГИТТЛ, 1950.

УДК 621.438—254:539.4.001.24

В. И. Цейтлин, Л. Н. Козлов, О. В. Колотникова

ОПТИМИЗАЦИЯ ЭЛЕМЕНТОВ КОЛЕСА ТУРБИНЫ ГТД ПО ВЕСУ

УСЛОВНЫЕ ОБОЗНАЧЕНИЯ

ω — угловая скорость вращения, сек⁻¹;
 z — число лопаток;
 h_n — толщина верхней полки, мм;
 γ — удельный вес материала, кгс/м³;

ρ — плотность материала, кгс·сек²/м⁴;
 F_a, F_{cp}, F_o — площадь верхнего, среднего и корневого сечений пера соответственно, мм²;
 R_a, R_{cp}, R_o — радиус расположе-